

## 第二章 $z$ 变换与LSI系统频域分析

*The  $z$  Transform and Frequency domain analysis of LSI System*

2.1

$z$  变换的基本概念

2.2

离散时间信号傅里叶变换

2.3

系统函数及其与系统性质的关系

2.4

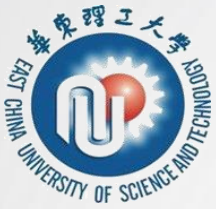
系统频率响应的意义

2.5

几何法画频率响应

2.6

特殊滤波器的设计



## 第二章 $z$ 变换与LSI系统频域分析

*The  $z$  Transform and Frequency domain analysis of LSI System*

### 2.6 特殊滤波器的设计

#### 全通滤波器的设计

华东理工大学信息科学与工程学院 万永菁



定义：滤波器的幅度特性在整个频带 $[0, 2\pi]$ 上均等于常数，或者等于1，即：

$$|H(e^{j\omega})| = 1, \quad 0 \leq \omega \leq 2\pi$$

则该滤波器称为全通滤波器。

特点：信号通过全通滤波器后，其输出的幅度特性保持不变，仅相位发生变化。

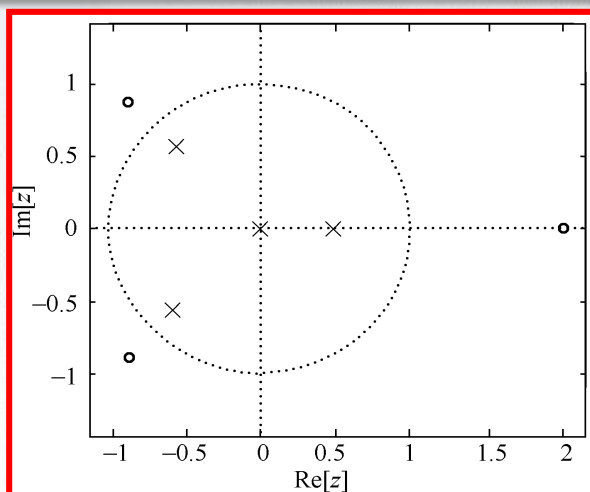
全通滤波器的系统函数的一般形式为：

$$H_{ap}(z) = A \frac{\sum_{k=0}^N d_k z^{-N+k}}{\sum_{k=0}^N d_k z^{-k}}, \quad d_0 = 1, \quad d_k \text{ 为实数}$$

$$H_{ap}(z) = A \frac{\sum_{k=0}^N d_k z^{-N+k}}{\sum_{k=0}^N d_k z^{-k}} \quad D(z) = \sum_{k=0}^N d_k z^{-k}$$

$$= A \frac{z^{-N} D(z^{-1})}{D(z)} = A \prod_{i=1}^N \frac{z^{-1} - p_i^*}{1 - p_i z^{-1}}$$

$$\begin{aligned} |H_{ap}(e^{j\omega})| &= \left| A \frac{(e^{j\omega})^{-N} D(e^{-j\omega})}{D(e^{j\omega})} \right| \quad \downarrow d_k \text{ 为实数} \\ &= \left| A \frac{(e^{j\omega})^{-N} D^*(e^{j\omega})}{D(e^{j\omega})} \right| = |A| \end{aligned}$$



$$H_i(z) = \frac{z^{-1} - p_i^*}{1 - p_i z^{-1}} = \frac{1 - p_i^* z}{z - p_i}$$

$$= \frac{-p_i^* (z - \frac{1}{p_i^*})}{z - p_i}$$

零点 (Zero) 和 极点 (Pole) 的关系：共轭倒易 (Conjugate Reciprocal)

- ◆ 实系数全通滤波器的零极点分布特性 — 共轭倒易关系
- ◆ 一般作为相位校正，又称相位均衡器。



$$H_{ap}(z) = \prod_{i=1}^{K_R} \frac{z^{-1} - \alpha_i}{1 - \alpha_i z^{-1}} \prod_{i=1}^{K_C} \frac{(z^{-1} - \beta_i^*)(z^{-1} - \beta_i)}{(1 - \beta_i z^{-1})(1 - \beta_i^* z^{-1})}$$

实数零极点对                      复数零极点对

讨论：1个极点 $p=re^{j\theta}$ 和1个零点 $z=r^{-1}e^{j\theta}$ 组成的 $H_i(z)$ 的相位响应：

零点和极点共轭倒易： $p = \frac{1}{z^*}$

$H_{ap}(z)$ 可以认为由多个 $H_i(z)$ 级联组成

$$H_i(z) = \frac{z^{-1} - re^{-j\theta}}{1 - re^{j\theta} z^{-1}} = \frac{z^{-1}(1 - re^{-j\theta} z)}{1 - re^{j\theta} z^{-1}}$$

可以看出， $|H_i(e^{j\omega})|=1$   
其相位有什么特点？

$$H_i(e^{j\omega}) = e^{-j\omega} \frac{1 - re^{-j\theta} e^{j\omega}}{1 - re^{j\theta} e^{-j\omega}} = e^{-j\omega} \frac{1 - r \cos(\omega - \theta) - jr \sin(\omega - \theta)}{1 - r \cos(\omega - \theta) + jr \sin(\omega - \theta)}$$

$$H_i(e^{j\omega}) = e^{-j\omega} \frac{1 - r \cos(\omega - \theta) - jr \sin(\omega - \theta)}{1 - r \cos(\omega - \theta) + jr \sin(\omega - \theta)}$$

$H_i(e^{j\omega})$ 的相位响应为:

$$\theta_i(\omega) = -\omega - 2 \arctan \frac{r \sin(\omega - \theta)}{1 - r \cos(\omega - \theta)}$$

$H_i(e^{j\omega})$ 的群延迟为:

$$\text{grd}_i(\omega) = -\frac{d\theta_i(\omega)}{d\omega} = \frac{1 - r^2}{1 + r^2 - 2r \cos(\omega - \theta)}$$

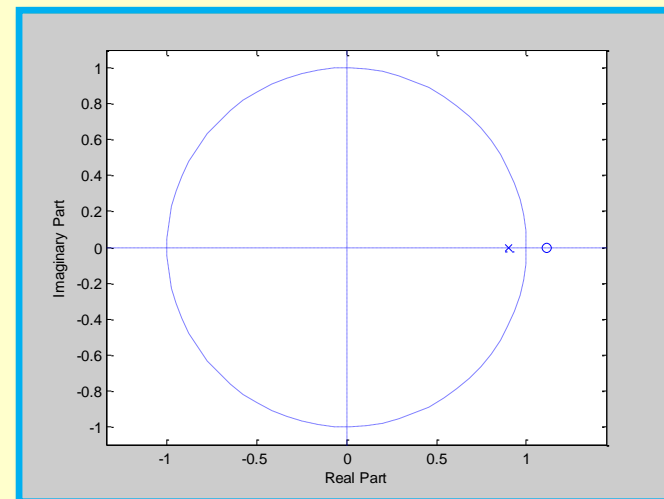
对于因果稳定的全通滤波器而言,  $|r| < 1$ , 所以有:  $\text{grd}_i(\omega) > 0$ , 即: 实系数因果稳定全通滤波器的群延迟总为正, 相位响应在  $[0, \pi]$  内单调减小。

## 实系数因果稳定全通滤波器的重要特性 ——

相位在 $[0,\pi]$ 内单调减小；群延迟为正

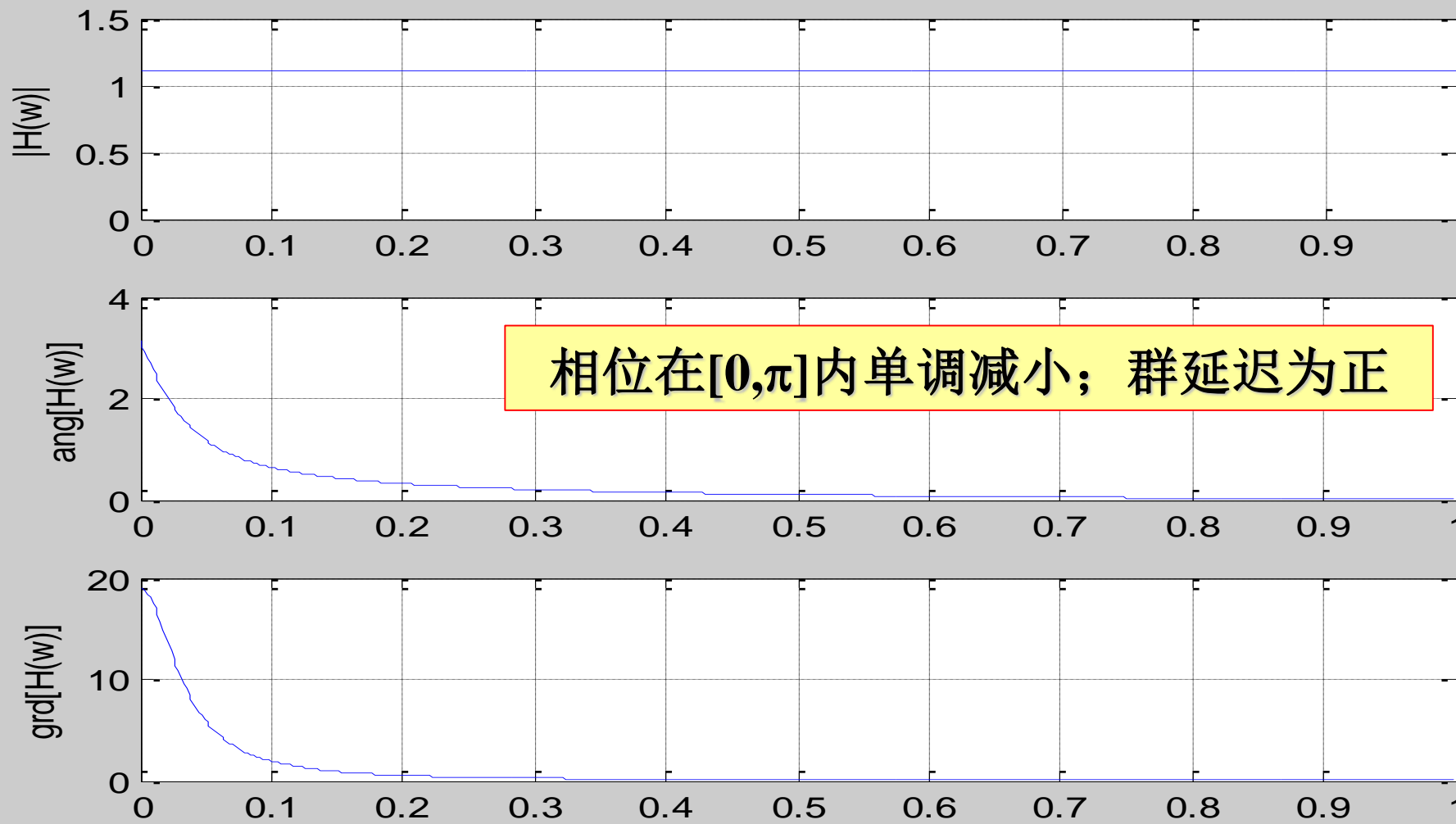
```
b=[1 -1/0.9];a=[1 -0.9];  
[Fh,w] = freqz(b,a);  
[Gd,w] = grpdelay(b,a);  
subplot(311)  
plot(w/pi,abs(Fh));ylabel(' |H(w)| '); grid on;  
axis([0 max(w/pi) 0 1.5])  
subplot(312)  
plot(w/pi,angle(Fh));  
ylabel(' ang[H(w)] '); grid on;  
subplot(313)  
plot(w/pi,Gd);ylabel(' grd[H(w)] '); grid on;
```

$$H_{ap}(z) = \frac{1 - \frac{1}{0.9}z^{-1}}{1 - 0.9z^{-1}}$$





# 实系数因果稳定全通滤波器的重要特性



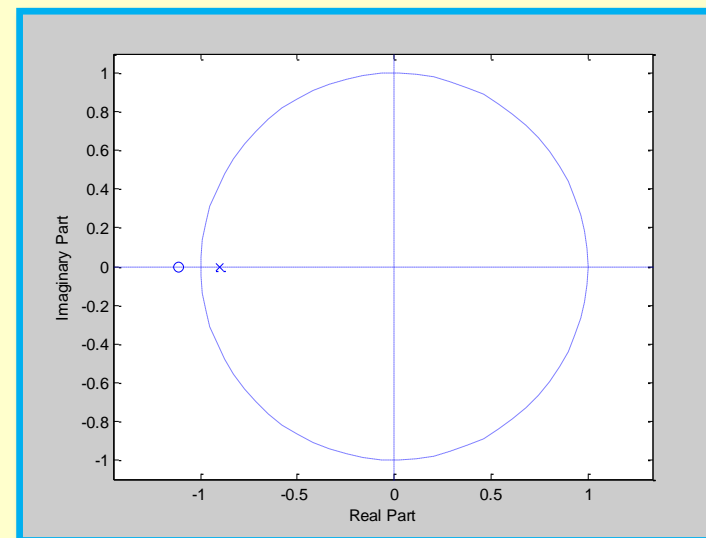


# 实系数因果稳定全通滤波器的重要特性

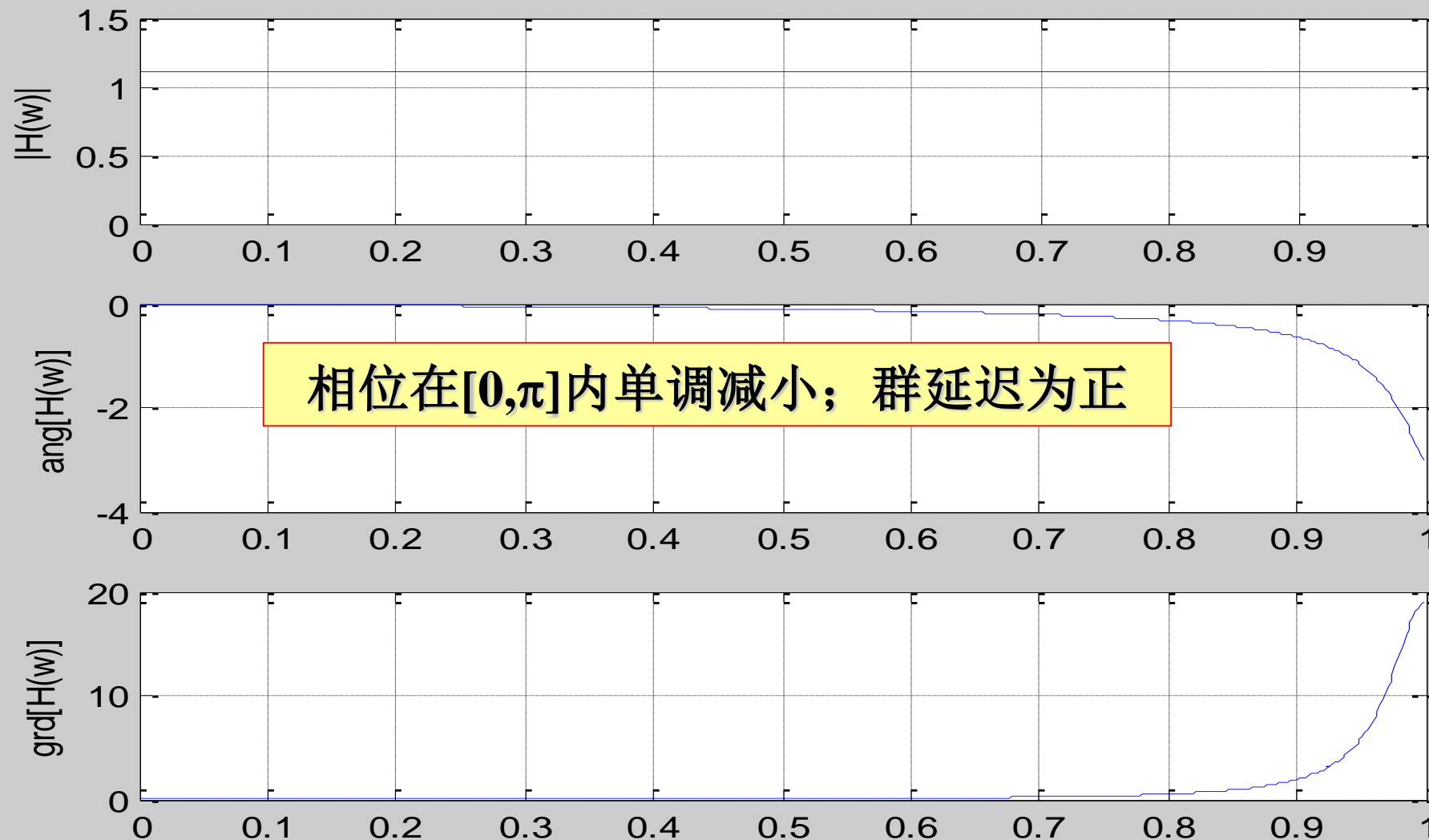


```
b=[1 1/0.9];a=[1 0.9];  
[Fh,w] = freqz(b,a);  
[Gd,w] = grpdelay(b,a);  
subplot(311)  
plot(w/pi,abs(Fh));ylabel(' |H(w)| '); grid on;  
axis([0 max(w/pi) 0 1.5])  
subplot(312)  
plot(w/pi,angle(Fh));  
ylabel(' ang[H(w)] '); grid on;  
subplot(313)  
plot(w/pi,Gd);ylabel(' grd[H(w)] '); grid on;
```

$$H_{ap}(z) = \frac{1 + \frac{1}{0.9}z^{-1}}{1 + 0.9z^{-1}}$$



# 实系数因果稳定全通滤波器的重要特性

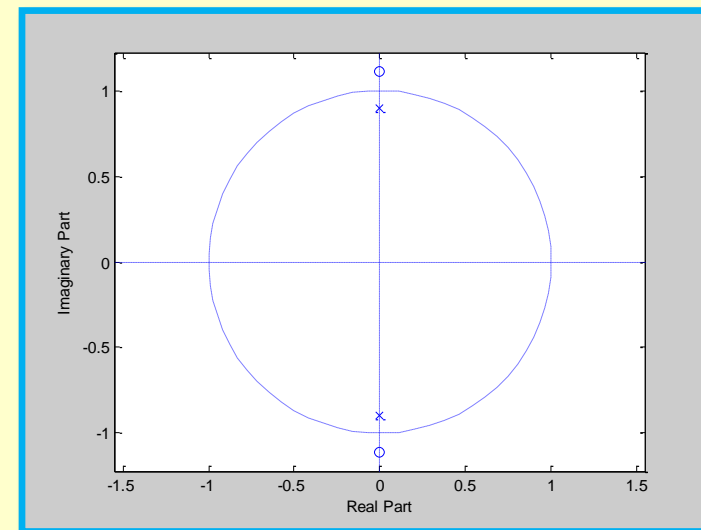


# 实系数因果稳定全通滤波器的重要特性



```
b=[1 0 -1/0.81];a=[1 0 -0.81];  
[Fh,w] = freqz(b,a);  
[Gd,w] = grpdelay(b,a);  
subplot(311)  
plot(w/pi,abs(Fh));ylabel(' |H(w)| '); grid on;  
axis([0 max(w/pi) 0 1.5])  
subplot(312)  
plot(w/pi,angle(Fh));  
ylabel(' ang[H(w)] '); grid on;  
subplot(313)  
plot(w/pi,Gd);ylabel(' grd[H(w)] '); grid on;
```

$$H_{ap}(z) = \frac{1 + \frac{1}{0.81}z^{-2}}{1 + 0.81z^{-2}}$$

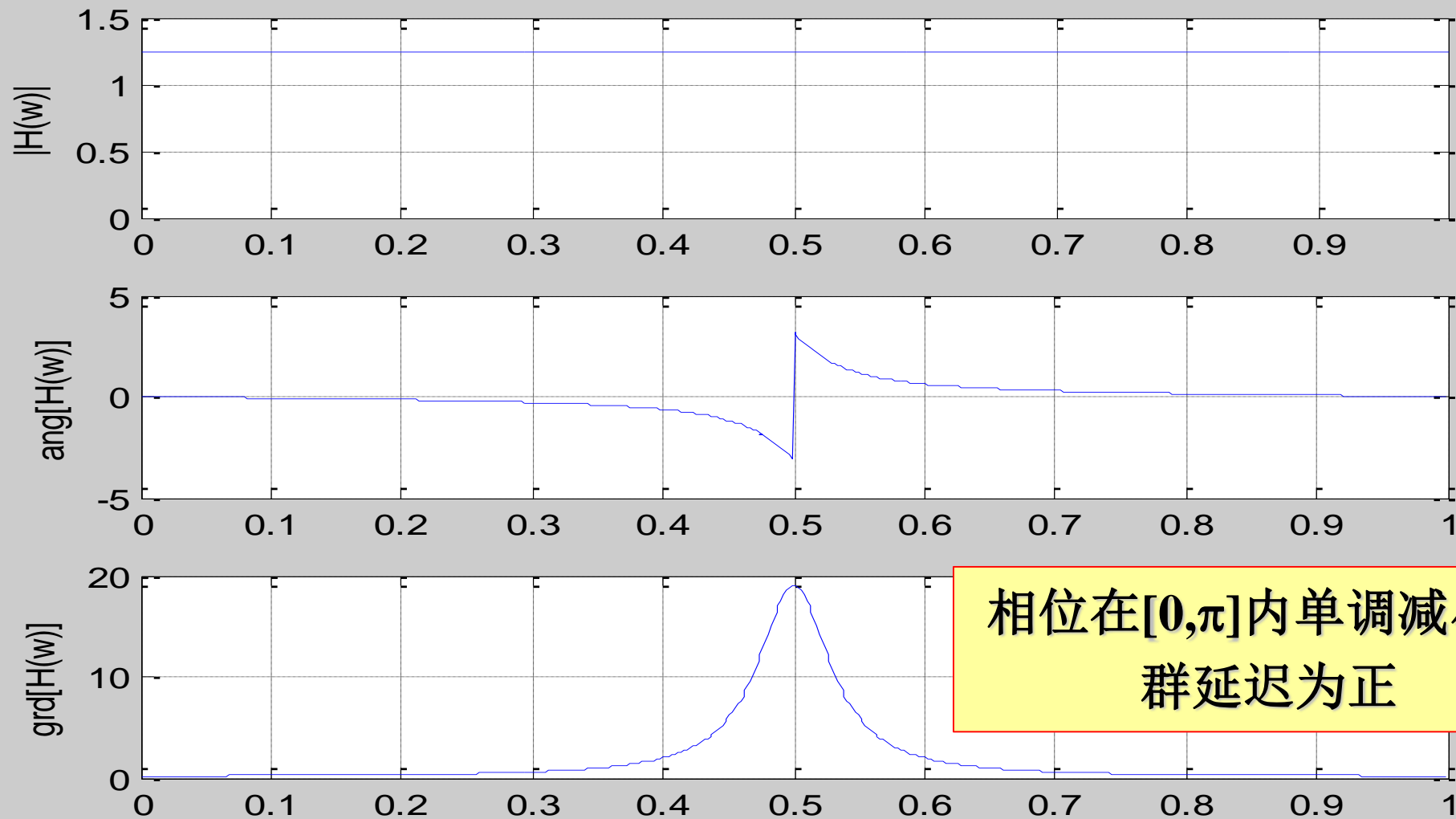




# 实系数因果稳定全通滤波器的重要特性

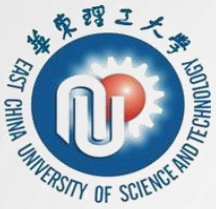


華東理工大學



相位在 $[0, \pi]$ 内单调减小；  
群延迟为正





## 第二章 $z$ 变换与LSI系统频域分析

*The  $z$  Transform and Frequency domain analysis of LSI System*

### 2.6 特殊滤波器的设计

#### 全通滤波器的设计

华东理工大学信息科学与工程学院 万永菁

